

**МОНІТОРИНГ ЛЬОДОВОЇ ОБСТАНОВКИ  
АЗОВСЬКОГО МОРЯ З ВИКОРИСТАННЯМ ДАНИХ  
ДИСТАНЦІЙНОГО ЗОНДУВАННЯ ЗЕМЛІ (ДЗЗ)**

*В.Ю. Вишняков;  
О.С. Можаровський*

*(Центр прийому і обробки спеціальної інформації  
та контролю навігаційного поля, м. Дунаївці)*

*Авторами пропонуються результати досліджень та аналіз можливості використання даних ДЗЗ, що приймаються в Центрі прийому і обробки спеціальної інформації та контролю навігаційного поля (ЦПОСІ та КНП) для створення динамічних карт льодової обстановки в навігаційний, осінньо-зимовий та весняний періоди.*

*Авторы предлагают результаты исследований и анализ возможностей использования данных ДЗЗ, которые принимаются в Центре приема и обработки специальной информации и контроля навигационного поля (ЦПОСИ и КНП) для создания динамических карт ледниковой обстановки в навигационный, осенне-зимний и весенний периоды.*

*Authors offer results of researches and the analysis of possibilities of use of data RZE, which are accepted in the Center of reception and processing of the special information and the control of a navigating field (CRPSI and CNF) for creation dynamic cards of glacial conditions in navigating periods: autumn-winter and spring.*

## **Вступ**

Важливість інформації про стан і товщину крижаного покриву, динаміку змін очевидна як для наукових досліджень, що стосуються питань взаємодії морів і атмосфери, так і для вирішення практичних завдань:

- забезпечення підводної і надводної навігації;
- побудови бурових платформ в районах нафтового і газового промислу на шельфах морів;

- забезпечення безпеки в районах судноплавних трас і рибного промислу;
- проектування прибережних споруд;
- проводки кораблів в складних льодових умовах;
- забезпечення робіт нафтогазового комплексу;
- оперативного реагування на надзвичайні ситуації та ін.

Для стеження за зміною льодової обстановки в морях за результатами обльоту складають льодові карти. У зв'язку з недоліками цього методу (висока вартість; залежність від польотних умов) доцільне використання методів дистанційного зондування з космосу, який є особливо актуальним для України.

Основними перевагами космічної зйомки є повторюваність надходження інформації і оперативність обробки. Аналіз світових методів дозволив створити алгоритм оброблення, який дозволяє відрізняти кригу від хмар і розділяти її по згуртованості.

### **Теоретичні основи**

На сьогоднішній день у світовій практиці серед льодових карт, що формуються за космічними знімками, виділяють:

- великомасштабні карти і плани стану льодового покриву масштабу 1 : 100 000 і крупніше на обмежених територіях (у затоках, протоках, портах);
- оперативні льодові карти масштабу 1 : 200 000 — 1 : 300 000;
- оглядові льодові карти (середньомісячні, середньодекадні), що відображають стан крижаного покриву на просторі декількох морів (відповідають масштабу 1:7 500 000 і дрібніше). Вони призначаються для наукового дослідження при розробці льодових прогнозів;
- спеціальні карти, що характеризують режим льоду. До них відносяться карти вірогідності переважання льоду того або іншого віку, карти середнього і екстремального положення кромок і меж льоду, карти разруйованості і т.п. На цих картах в узагальненому вигляді представляються результати обробки первинних оглядових і оперативних льодових карт (рис. 1).

В останнє двадцятиріччя в Україні картування льодової обстановки здійснюється Морським гідрофізичним інститутом (МГІ) на основі даних американських штучних супутників

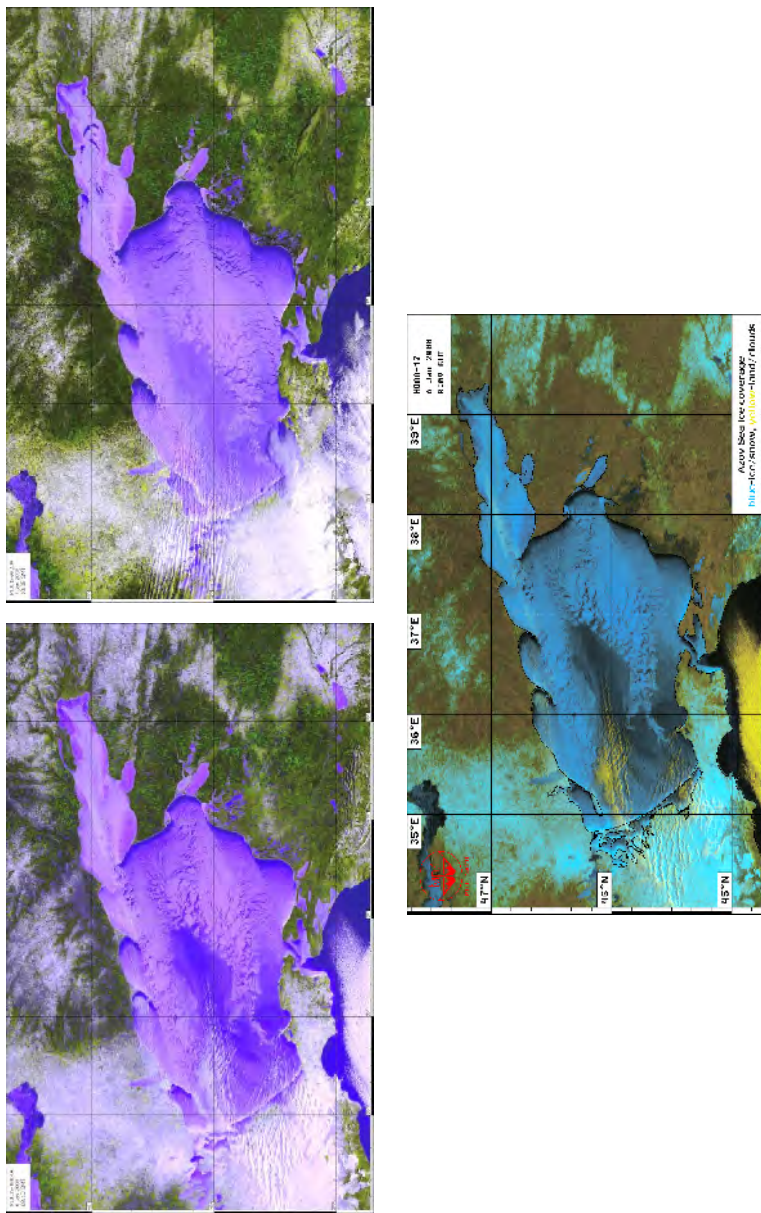


Рис. 1

Таблиця 1

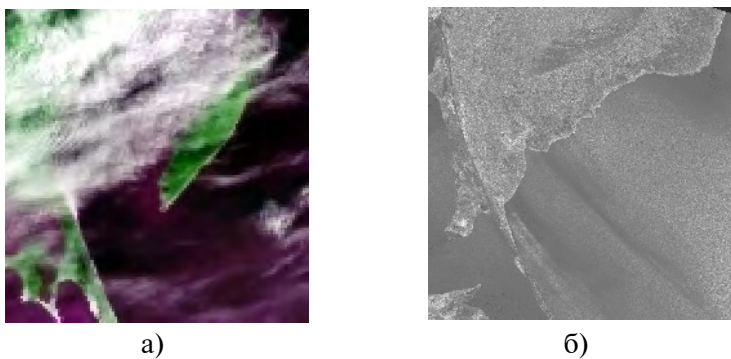
**Основні технічні характеристики апаратури ДЗЗ, що використовується для моніторингу льодової обстановки**

Знімальна апаратура	Спектральні діапазони	Просторове розрізнення	Смуга огляду, км
МСУ-Э (Метеор)	0,5—0,6; 0,6—0,7; 0,8—0,9 мкм	40 м	45
МСУ-СК (Океан)	0,5—0,6; 0,6—0,7; 0,7—0,8; 10,4—12,6 мкм	140x550 м	600
МСУ-Э (Ресурс)	0,5—0,6; 0,6—0,7; 0,8—0,9 мкм	29 м	58
МСУ-СК (Ресурс)	0,5—0,6; 0,6—0,7; 0,7—0,8; 0,8—1,0; 10,4—12,6 мкм	130x170 м	710
MODIS (TERRA, AQUA)	36 каналів у діапазоні 0,54—14,3 мкм	250 м (2 канали), 500 м (5 каналів) і 1000 м (29 каналів)	2300
AVHRR (NOAA)	0,58—0,68; 0,725—1,00; 3,55—3,93; 10,3—11,3; 11,5—12,5 мкм	1,1 км	3000
ASAR	3,2 см	1,5—2 км	460

Землі (ШСЗ) TERRA, AQUA та супутників серії NOAA (США) ([http://dvs.net.ua/mp/data/main\\_ru.shtml](http://dvs.net.ua/mp/data/main_ru.shtml)).

Найбільш використовувані при побудові льодових карт є ІЧ-діапазон AVHRR (NOAA) та мультиспектральні канали знімальної апаратури MODIS (TERRA, AQUA).

Основною проблемою використання космічних даних оптичного та ІЧ-діапазонів є наявність хмарності, яка перешкоджає суцільноті проведення моніторингу підстильної поверхні. Цю проблему дозволяє вирішити використання радіолокаційних знімків (рис. 2). На відміну від інформації оптичного і інфрачервоного діапазонів, дані радіолокації є всепогодними (вони не залежать від освітленості і хмарного покриву). На зображеннях, радіолокації спостерігається достатній для упевненого дешифрування контраст між льодами різного віку.



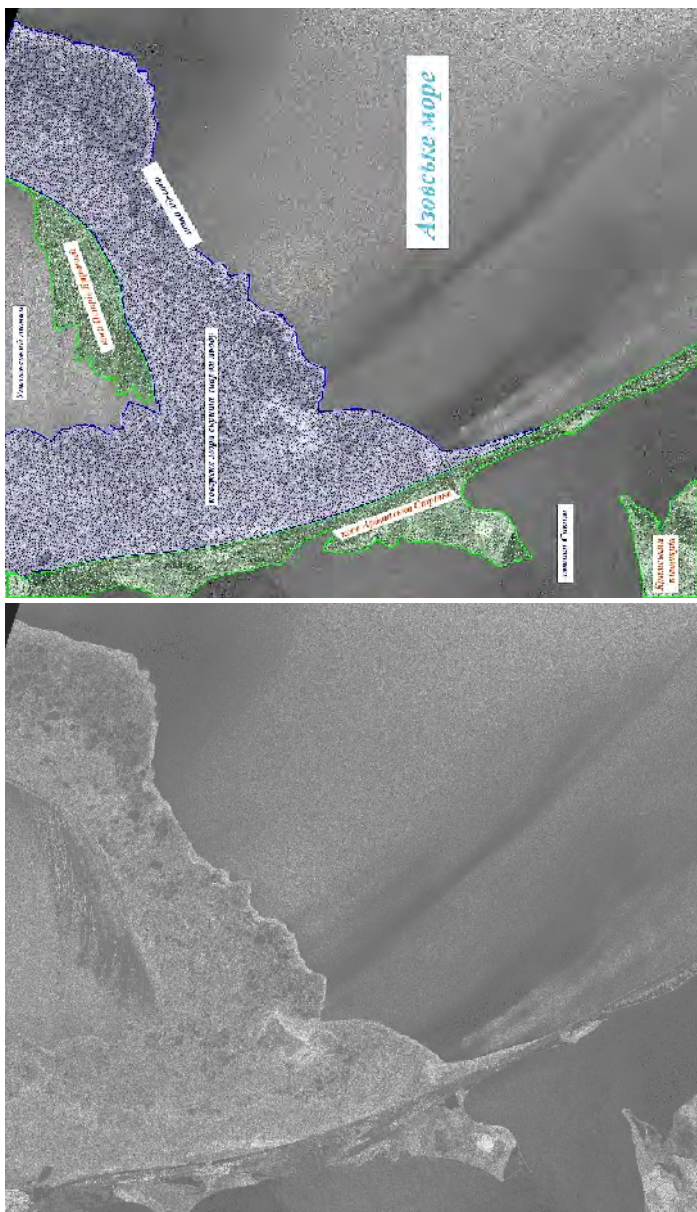
*Рис. 2. Дані: а) оптичного діапазону; б) радіолокаційного*

### **Основна частина**

Дешифрування радіолокаційних даних методом візуального аналізу з врахуванням характерних текстурних, яскравісних та інших характеристик підстильної поверхні дозволяє чітко відрізити межу лід — вода — берегова смуга (рис. 3). Якість та достовірність обробки та аналізу радарних даних залежать від теоретичного та практичного досвіду оператора, а також від якості вихідних даних, отриманих зі станції прийому даних РЛ.

Одним з недоліків космічних радіолокаційних даних є низька періодичність зйомки. Таким чином, доцільним є проведення комплексного оброблення даних (дистанційних та наземних спостережень) з врахуванням великих об'ємів практичних і експертних знань, непідdatливих формалізації, таких як:

- аналіз кліматичної мінливості характеристик крижаного покриву на даній акваторії;
- аналіз льодової обстановки, одержаної на основі даних космічної зйомки в попередній і досліджуваний період;
- аналіз гідрометеорологічної ситуації;
- досвід фахівця-дешифрувальника при визначенні межі між елементами карти льодової обстановки ( кожен елемент карти може містити лід різної стійкості, різних вікових градацій і форм).



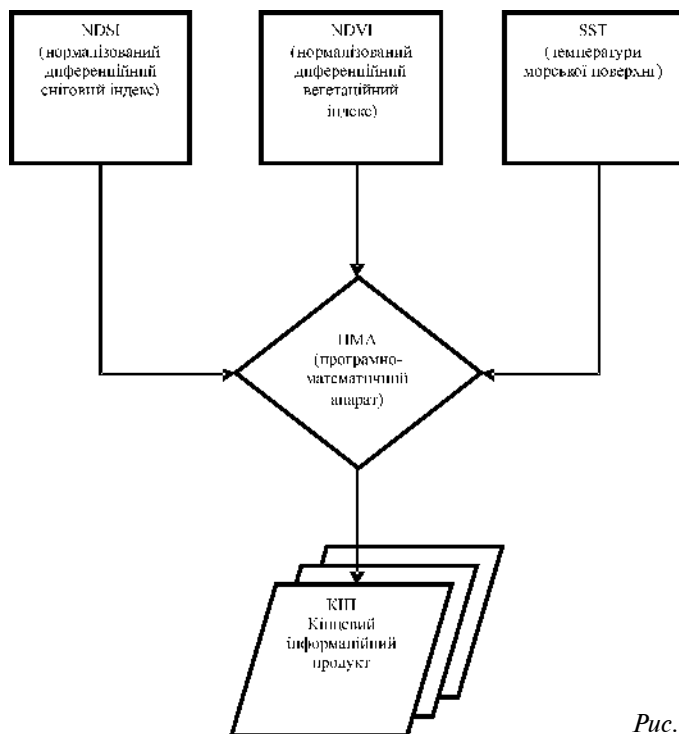
*Рис. 3*

Авторами розроблено та впроваджується алгоритм (рис. 4) для оперативного картування і вивчення довготривалих характеристик крижаного покриву (появи та сходи, динаміка, виникнення тріщин та розломів, розповсюдження по акваторії) за даними з пристрій оптических діапазонів.

Пропонується сумарно-різницевий метод порівняння відповідних індексів (NDVI, NDSI) та температури морської поверхні (SST) з подальшим створенням кінцевого інформаційного продукту (КІП) (рис. 5—6).

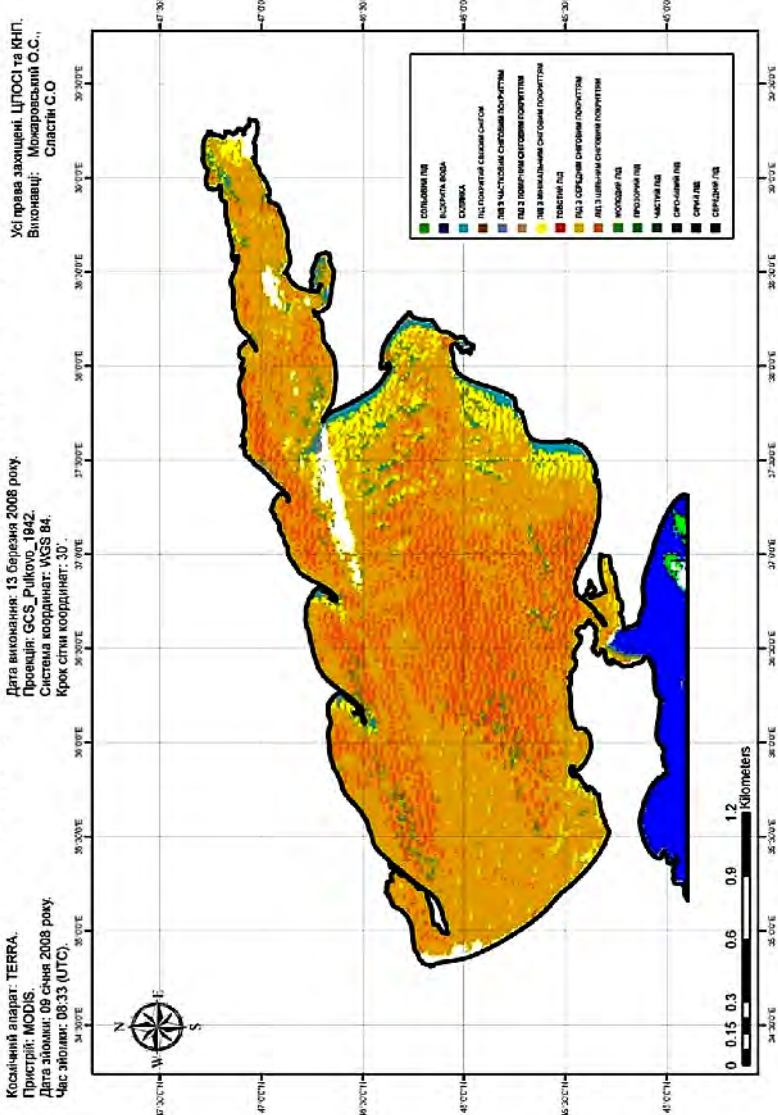
В результаті відпрацювання розробленого методу створюються тематичні карти льодового покриття Азовського моря (Додаток 1).

Для візуальної оцінки стану льодового покриття користувачем формуються як класифіковані, так і растрої карти (рис. 7).



*Rис. 4*

### **Тематична карта льодового покриття Азовського моря**



*Pic. 5*

## Тематична карта льодового покриття Азовського моря

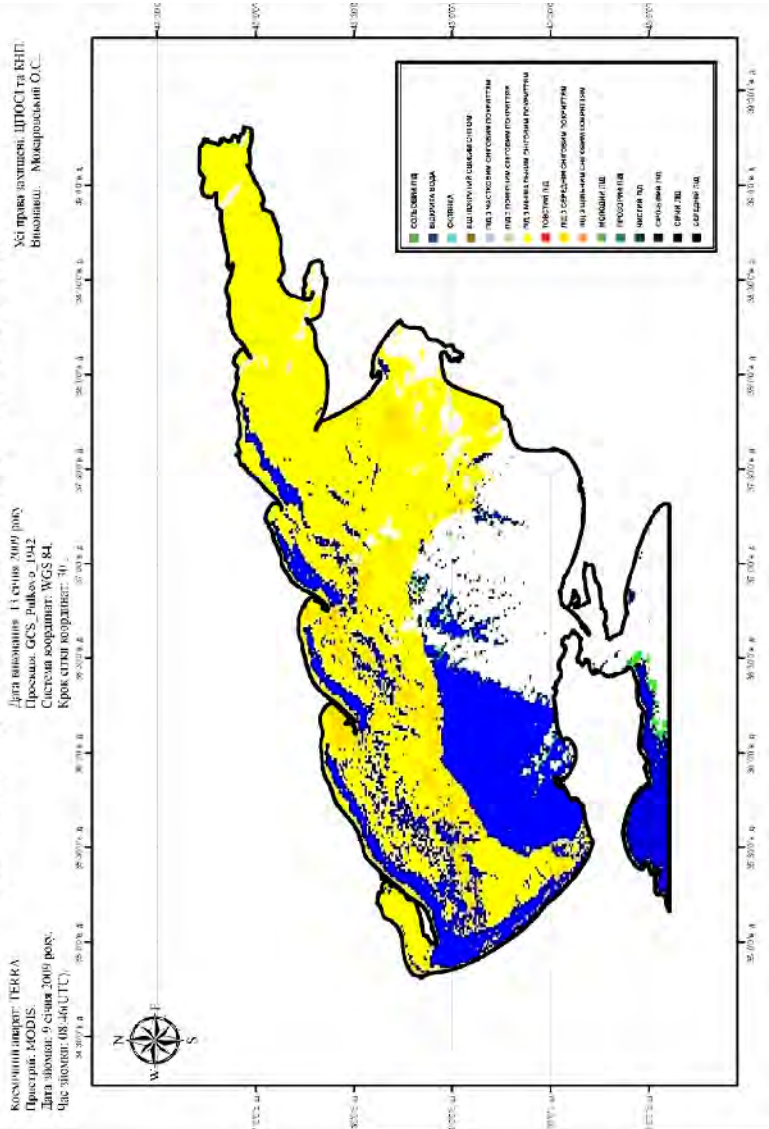
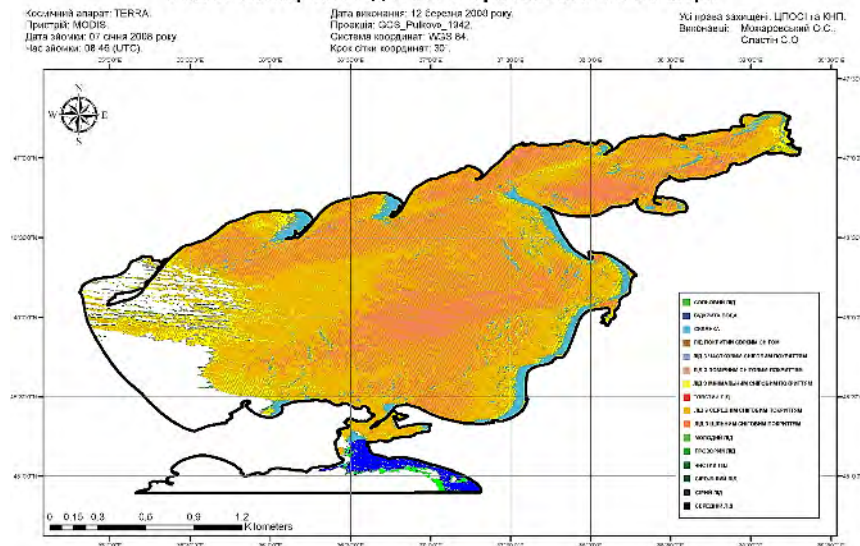


Рис. 6

## Розділ 1. Екологічна безпека

### Тематична карта льдового покриття Азовського моря



### Тематична карта льдового покриття Азовського моря

Базовий спадок: TERRA.  
Програма MODIS.  
Дата зйомки: 13 січня 2009 року  
Час зйомки: 08:46 (UTC).

Для виконання: 13 січня 2009 року.  
Проекція: GCS\_Pulkovo\_1942.  
Система координат: WGS84.  
Крок стиснення: 30'.

Хід плавання: ЦІОСС та КНП.  
Відповідь: Михайлівський О.С.



Рис. 7

Додаток 1

Тематична карта льодового покриття Азовського моря

Космічний апарат ТЕРА.

Програма MODIS.

Дата зйомки: 7 січня 2009 року.

Час зйомки: 09:05 (UTC).

Дата публікації: 11 січня 2009 року.

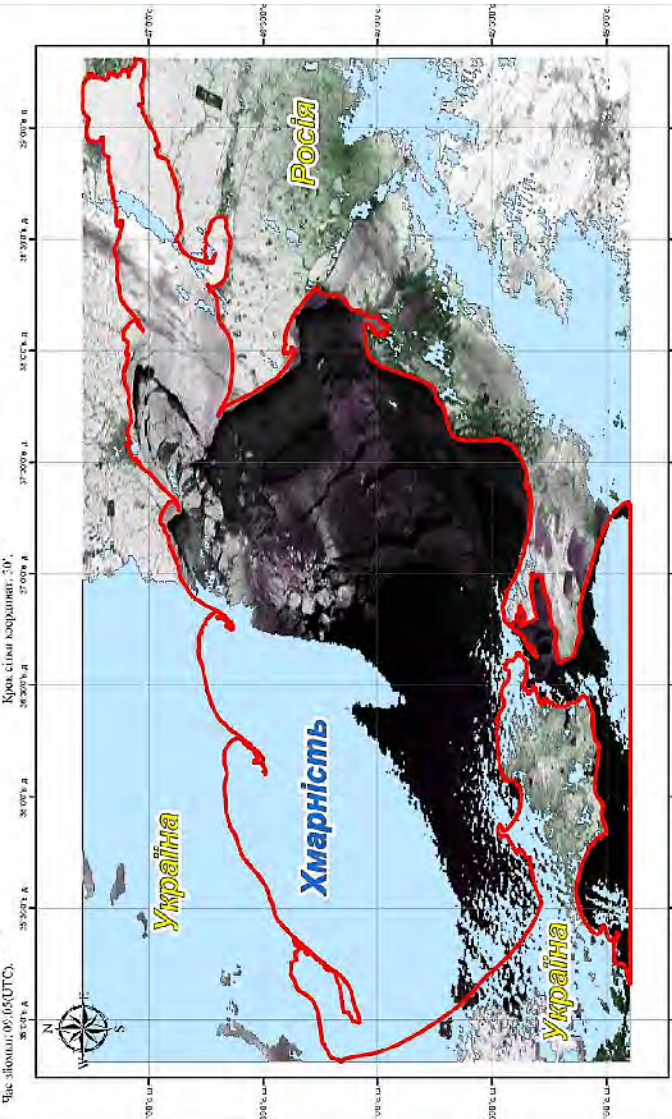
Прес-центр: G.S. Pavlov\_1942.

Система координат: WGS 84.

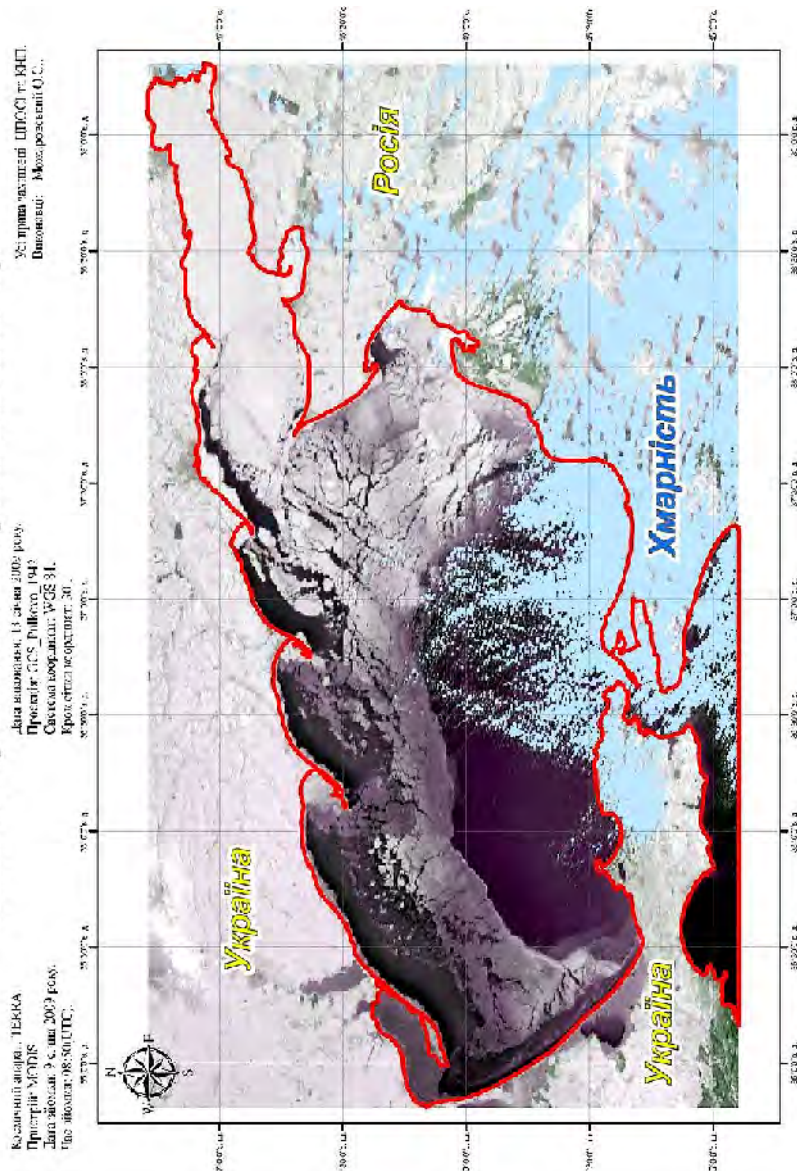
Коєфіцієнт збереження: 10%.

Усі права захищені ІПБОСІ та КНІП.

Виконавець: Медиаурядник О.С.

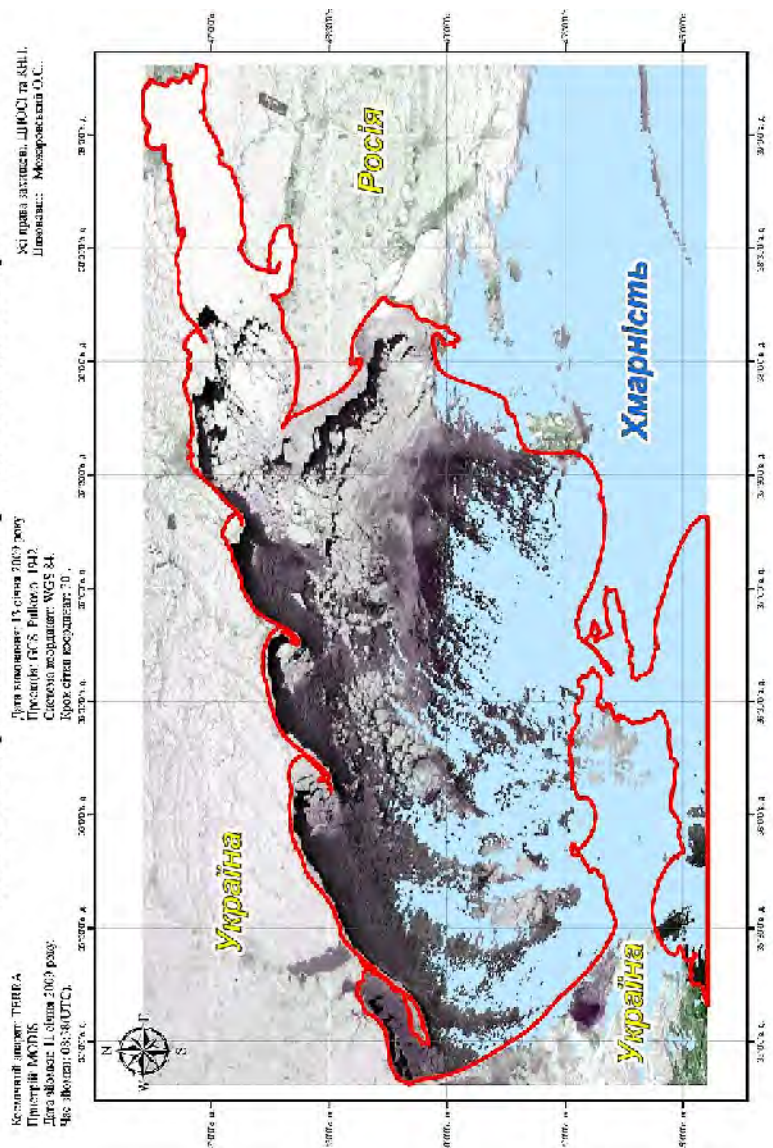


## Продовження додатку I

**Тематична карта льодового покриття Азовського моря**

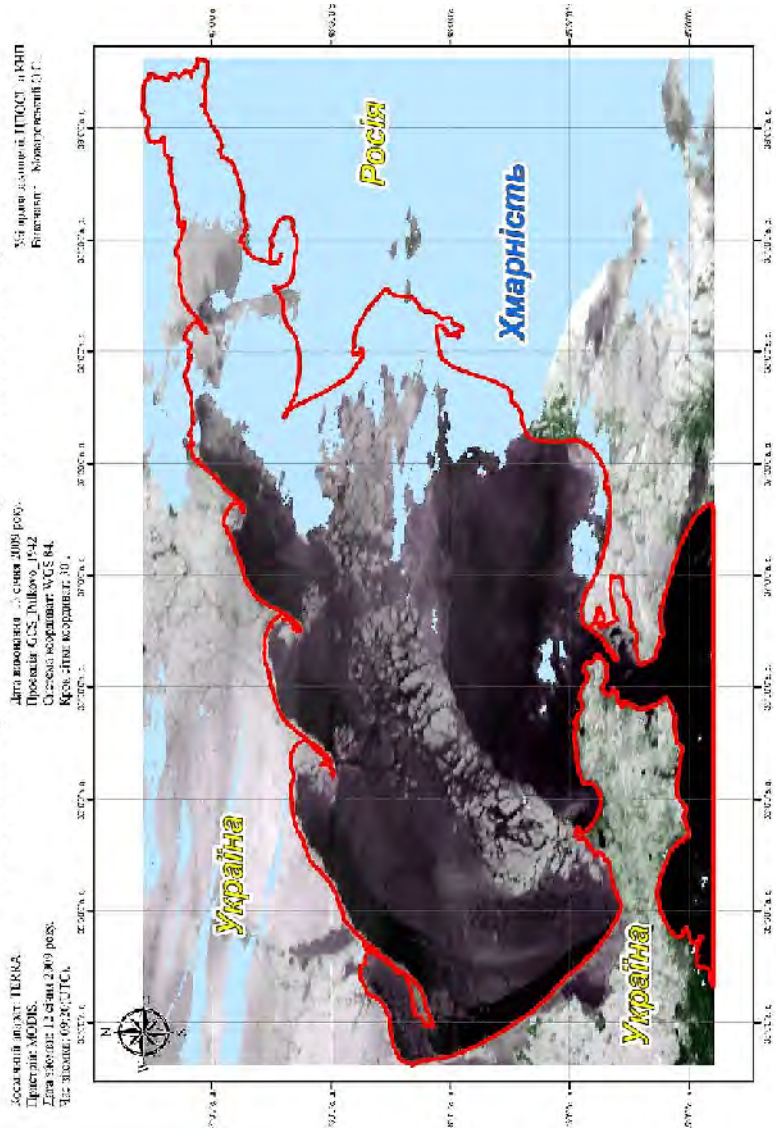
Проведження додатку I

Тематична карта льодового покриву Азовського моря



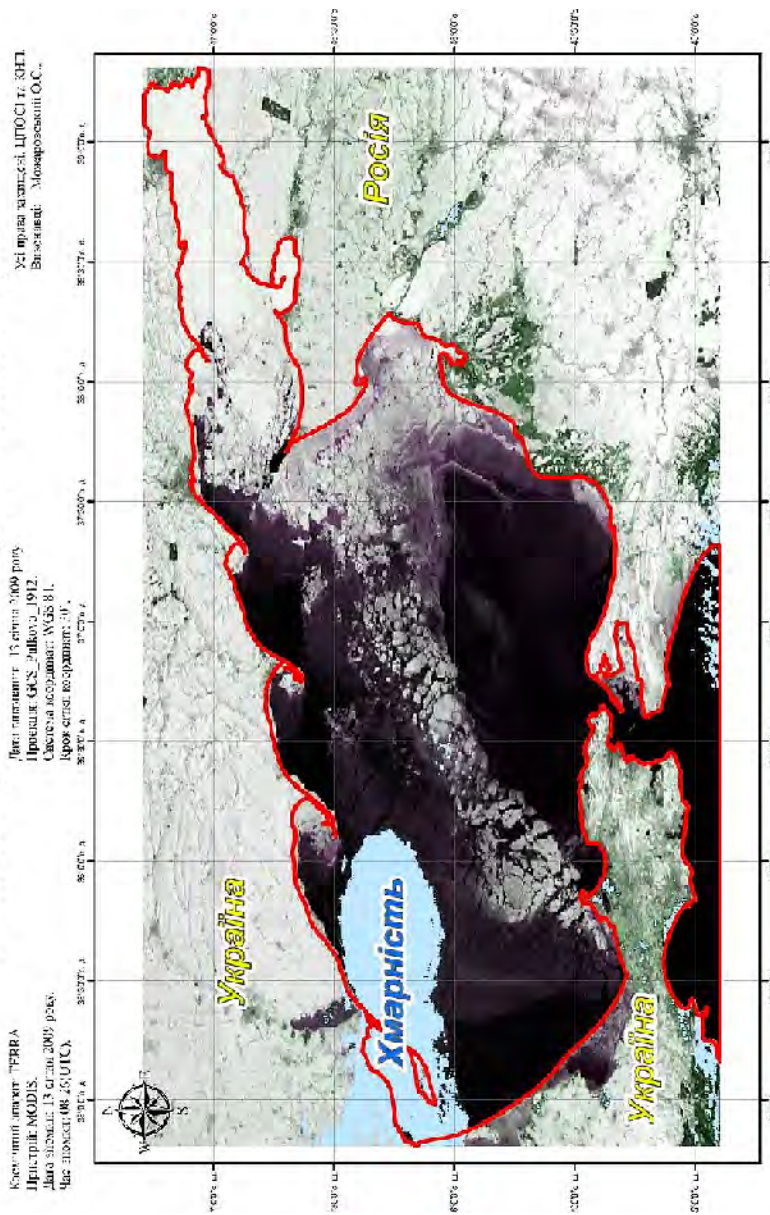
**Придовжнення додатку I**

**Гематична карта льодового покриття Азовського моря**



Проведження додатку I

**Тематична карта льодового покриття Азовського моря**



Додаток 2

Льодове покрите Азовського моря за даними РЛС БО.

Космічний апарат:

Пристрій: ASAR

Дата зйомки: 19 січня 2009 року.

Час зйомки: (UTC)

Дата використання: 13 лютого 2009 року.

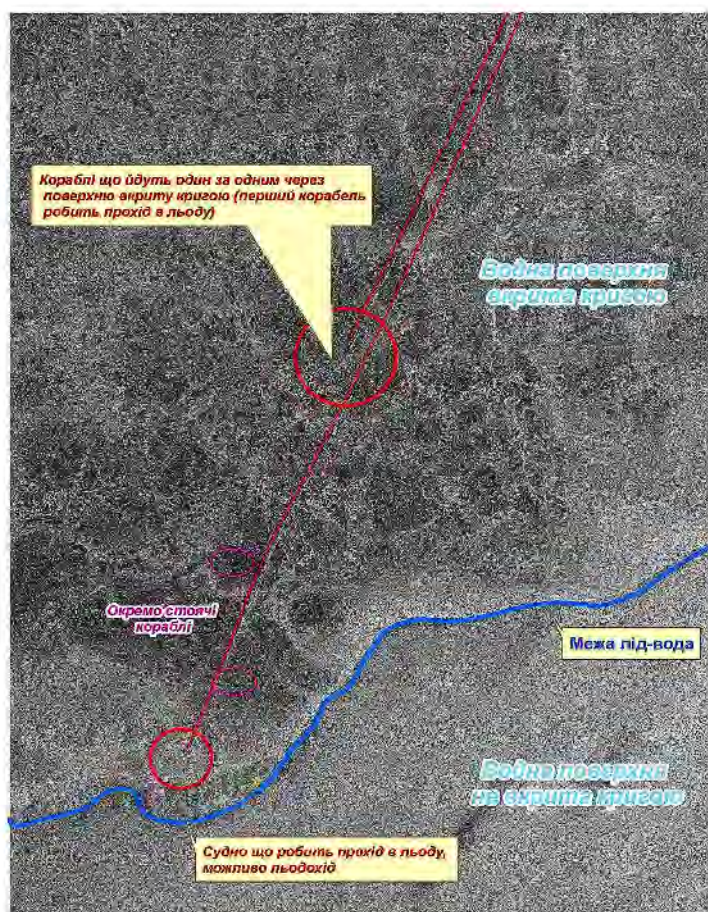
Проекція: GCS\_Pulkovo\_1942.

Система координат: WGS 84.

Крок стиснення координат: 30'

Усі права захищені. ШІТОСІ та КНІ.

Експонент: Можаровський О.С.



## **Висновок**

Проведена робота:

- підтверджує можливість оперативного оброблення даних та формування кінцевого інформаційного продукту безпосередньо після прийому інформації ДЗЗ (на засобах ЦПОСІ та КНП);
- необхідність використання радіолокаційних даних для уточнення льодової обстановки при несприятливих метеоумовах та оцінки стану судноплавних шляхів (Додаток 2).

Аналіз отриманих карт показав, що станом на 2009 рік акваторія Азовського моря була більш відкрита від криги, ніж у 2008 році. Таким чином можливо передбачити, що кліматичні умови в цьому році сприяли більш інтенсивному судноплавству, а отже, й більшому техногенному навантаженню на акваторію.

На даний час продовжується тестування алгоритму з метою його вдосконалення та автоматизації з подальшим розміщенням результатів оброблення в мережі INTERNET (<http://dzz.gov.ua/>).

Актуальним питанням лишається валідація отриманих тематичних результатів за наземними, водними спостереженнями та даними авіаційної розвідки льодової обстановки.

*Отримано: 18.03.2009 р.*